SISTEMA DE MEDIDAS E CONTROLE USANDO RADIAÇÃO NUCLEAR

José Altino Tupinambá Melo^a , Tufic Madi Filho^{ab}
^aInstituto de Pesquisas Energéticas e Nucleares

Av. Prof. Lineu Prestes, 2242 - Cidade Universitária - SP - Brasil
^bUniversidade Cruzeiro do Sul - UNICSUL

Av. Dr. Ussiel Cirilo,225 - São Paulo - SP - Brasil
altino@estadao.com.br^a, tmfilho@ipen.br^b

RESUMO

Os Ensaios Não Destrutivos (END) são aplicados em testes de qualidade de componentes e de máquinas. Estes elementos não teriam um bom desempenho se fossem concebidos alheios à qualidade do projeto, aos materiais envolvidos, aos processos de fabricação e à metodologia de inspeção e manutenção. Um alto nível de tecnologia é aplicado com um objetivo específico, ou seja, à garantia da qualidade dos componentes e do bom funcionamento dessas máquinas, sejam elas nas indústrias, geração e conversão de energia, inclusive nuclear. A globalização nos diversos ramos da indústria leva a um aumento na quantidade de projetos e produtos contextualmente multinacionais. Surgem, as seguintes questões: como assegurar que os componentes e os processos utilizados disponham de alto índice de qualidade? Como otimizar os métodos e os processos de teste de materiais para assegurar a isenção de defeitos que possam afetar o desempenho dos componentes? As respostas para as questões se encontram notadamente na aplicação dos END. A análise de materiais complexos (não homogêneos) por meio de END requer um estudo detalhado dos sinais de resposta dos sensores. Um sistema de medidas e controle de processos não destrutivos usando radiação gama ou beta, em função do material a ser analisado foi desenvolvido. Esse sistema envolve: (a) Interface de entrada/saída (Hardware) e (b) Interface gráfica (Software). Na análise não destrutiva faz-se a comparação do sinal proveniente do sensor com um sinal preestabelecido (Set Point) ou sinal de referência, o qual é ajustado na Interface de entrada/saída. Após o processamento geral, o sistema tomará a decisão de rejeitar ou não o material analisado.

A Interface de entrada/saída é implementada por um equipamento eletrônico constituído pelo MCS51, A finalidade desta interface é a de fornecer um meio físico para troca de informações, via comunicação serial RS232, entre o sensor, o microcomputador . A Interface gráfica (programa computacional) foi escrita em linguagem C++ visual. Palavras chaves: Ensaios Não Destrutivos, radiação gama, Interface de entrada/saída (I/O), Linguagem C++.

ABSTRACT

Non-destructive Assay (NDA) is applied to machines and components quality tests. These elements would not have a good performance if they were conceived without concern about the mechanical project quality, used materials, manufacture processes and inspection and maintenance methodology. In this work, a measure and control system of non destructive processes was developed, using a radioactive source with a defined energy in function of the material to be analyzed. This system involves: (a) Interface of input/output (I/O) (the Hardware) and (b) graphical Interface (Software). In the non destructive analysis, it is made the comparison of the signal proceeding from the sensor with a signal preset (Set Point) or analogical signal of reference (Base Line), which is adjusted in the I/O Interface. Analyzed the signal, the system will make the decision: (a) to reject or (b) to accept the analyzed material.

The I/O Interface is implemented by electronic equipment with a MCS51. The purpose of this interface is to supply conditions to exchange information, using serial RS232, between the sensor and the microcomputer. The graphical Interface (software) is written in visual C++ language.

Key words: Non-destructive Assay, C++

INTRODUÇÃO

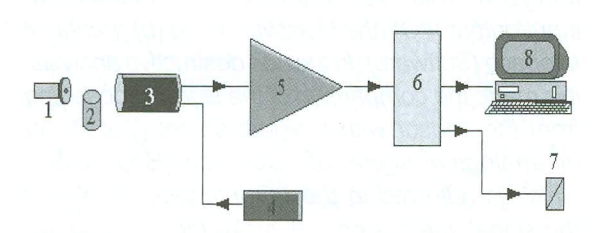
O trabalho dedicado a área de Ensaios Não Destrutivos (END) é de grande relevância. O END investiga a integridade dos elementos sem destruírem ou alterarem as suas características físicas e químicas. Muitas industrias em diversas áreas e com base em diversas tecnologias [1, 2] aplicam END usando radiação nuclear na inspeção de qualidade de máquinas, de componentes e materiais diversos. O END é aplicado em industrias petroquímicas na verificação de obstrução em tubulações, indústrias de papel na inspeção de espessura, indústrias siderúrgicas na verificação da composição de ligas metálicas [3] e em armazenamento de líquidos e sólidos fragmentados na medida de volume ou nível.

OBJETIVO

O objetivo específico deste trabalho foi desenvolver um sistema de medidas e controle de processos não destrutivos usando radiação nuclear que recebe a denominação de sistema ENDRAD, Ensaio Não Destrutivo usando Radiação.

O trabalho é composto por: (6) Módulo Eletrônico ENDRAD ou Interface Física (Hardware) e (8) Programa Computacional ENDRAD ou Interface Gráfica (Software), Figura 1.

Figura 1. Diagra ma de blocos do equipamento.



(1) Fonte radioativa 241 Am, (2) Recipiente metálico contendo água, (3) Detector Cristal Cintilador NaI(Tl) e Fotomultiplicadora, (4) Fonte de Alta tensão, (5) Eletrônica associada ao detector, (6) Módulo Eletrônico ENDRAD, (7) Válvula Solenóide. Termo genérico referente a uma saída atuante em um sistema eletromecânico ou eletropneumático para seleção de recipientes; (8) Microcomputador e Programa Computacional ENDRAD.

MÉTODO

As fontes radioativas emitem radiação por meio de desintegrações nucleares. A radiação é emitida em 4 π , e por meio de um colimador obtém-se um feixe estreito e bem dirigido na direção do detector.

A intensidade (I) da radiação incidente no detetor é inversamente proporcional à densidade e à espessura do material colocado entre a fonte radioativa e o detetor [4, 5], e, portanto, pode varia em função do valor da altura do nível do material contido em um recipiente. A radiação incidente no detetor é convertida em um sinal elétrico [4] e este último é então convertido em taxa de contagem.

$$I = Io e^{-\mu x}$$
 (1) onde:

μ = coeficiente de absorção (cm² g-1) e

x = espessura (cm)

Na saída do sistema de medição, as taxas de contagem oscilam de um valor mínimo a um valor máximo em função a quantidade de radiação incidente no detector.

Se a altura do nível encontra-se em um valor adequado, ou seja, se está acima do valor mínimo, tem-se a máxima redução na intensidade da radiação e consequentemente obtém-se taxas de contagem reduzidas (Valor mínimo).

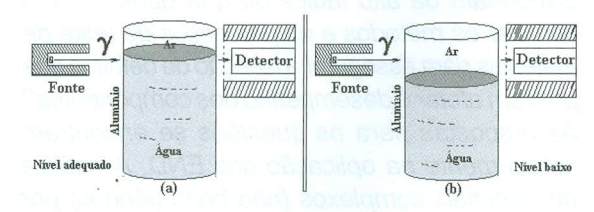


Figura 2. Esboço para o processo de medida de nível.

Mas, se a altura do nível encontra-se em um valor inadequado, ou seja, está abaixo do valor mínimo, tem-se pouca redução na intensidade da radiação e, portanto são obtidas elevadas taxas de contagem (Valor de rejeição).

Os valores mínimos de contagem são obtidos quando o recipiente cilíndrico, em movimento, alcança o centro da posição de medição, pois nesta posição ocorre a máxima atenuação na intensidade do feixe.

Na Figura 3, a posição X₀ é onde tem-se a máxima espessura de material e cujo valor equivale ao diâmetro D do recipiente.

De X₋₁ até X₀ corresponde à entrada do recipiente na posição de medição.

De X_0 até X_1 corresponde à saída do recipiente da posição de medição.

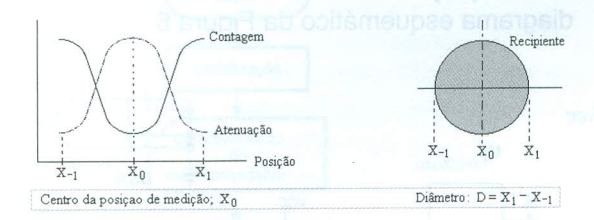


Figura 3. Atenuação, contagem e posição do recipiente sob ensaio.

A Figura 3 mostra o comportamento inverso da contagem em relação à atenuação durante o deslocamento do recipiente sobre a posição de medição foi observado.

O algoritmo [6] para o sistema de medida descrimina os valores alto e baixo relativos às medidas do nível e, vazio relativo à posição de medição vazia, efetuando continuamente medições e comparando entre si os dois últimos valores recentemente obtidos C_n e C_{n-1} respectivamente: contagem atual e contagem anterior. O algoritmo detecta valores de taxas de contagens mínimos e máximos por meio das transições ilustradas nos gráficos presentes nas Figura 4 e 5.

Adetecção do valor mínimo ocorre quando C_n torna-se maior que C_{n-1} . Matematicamente, a detecção do valor mínimo corresponde à vizinhança superior ao mínimo da função c = f(t), ou seja, o ponto na função onde a sua derivada torna-se positiva [7, 8].

Isto é,
$$f(t_{n-1} + \Delta t) > f(t_{n-1}),$$
 onde
$$\Delta t = t_n - t_{n-1} e \Delta t \rightarrow 0$$

Mecanicamente, o valor mínimo ocorre quando o recipiente ocupa o centro da posição de medida, em que a espessura é máxima e corresponde ao valor do diâmetro do recipiente. Este valor é comparado com o valor de referência indicado no botão Val_Ref da janela do programa ENDRAD, Figura 9.

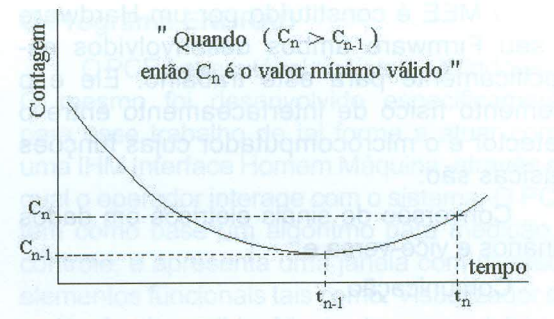


Figura 4. Mínimo da função

A detecção do valor máximo ocorre quando C_n torna-se menor ou igual à C_{n-1} . Matematicamente, a detecção do valor máximo corresponde à vizinhança superior ao máximo da função c = f(t), ou seja, o ponto na função em que a sua derivada torna-se negativa.

Isto é,
$$f(t_{n-1} + \Delta t) < f(t_{n-1}),$$

onde $\Delta t = t_n - t_{n-1}$ e $\Delta t \rightarrow 0$

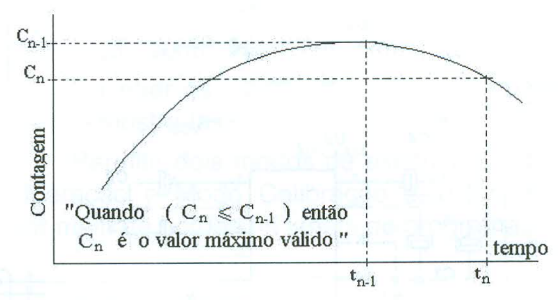


Figura 5. Máximo da função

Mecanicamente, o valor máximo ocorre quando o recipiente abandona completamente a posição de medida, dando lugar ao espaço vazio compreendido entre dois recipientes. Este valor máximo é comparado com o valor de referência indicado numericamente pelo botão *Val_Vazio* da janela do ENDRAD.

A mínima atividade detectável (mad) para o sistema de medição utilizado foi obtida usando a relação [9, 10]:

$$mad = ruido de fundo + 3 \times \sqrt{ruido de fundo}$$
 (2)

RESULTADOS

Os elementos que foram desenvolvidos para o trabalho são o Módulo Eletrônico ENDRAD (MEE) e o Programa Computacional ENDRAD (PCE). O MEE é constituído por um Hardware e seu Firmware ambos desenvolvidos especificamente para este trabalho. Ele é o elemento físico de interfaceamento entre o detector e o microcomputador cujas funções básicas são:

Conversão de sinais elétricos em dados binários e vice-versa e

Comunicação.

Trata-se de um circuito eletrônico que contém: Contador binário, Portas lógicas, Microcontrolador MCS51 e Comunicador serial padrão RS232. Na memória Flash do microcontrolador está gravado seu respectivo Firmware o qual teve seu código fonte escrito em linguagem Assembler MCS51.

O projeto elétrico do MME resultou no diagrama esquemático da Figura 6.

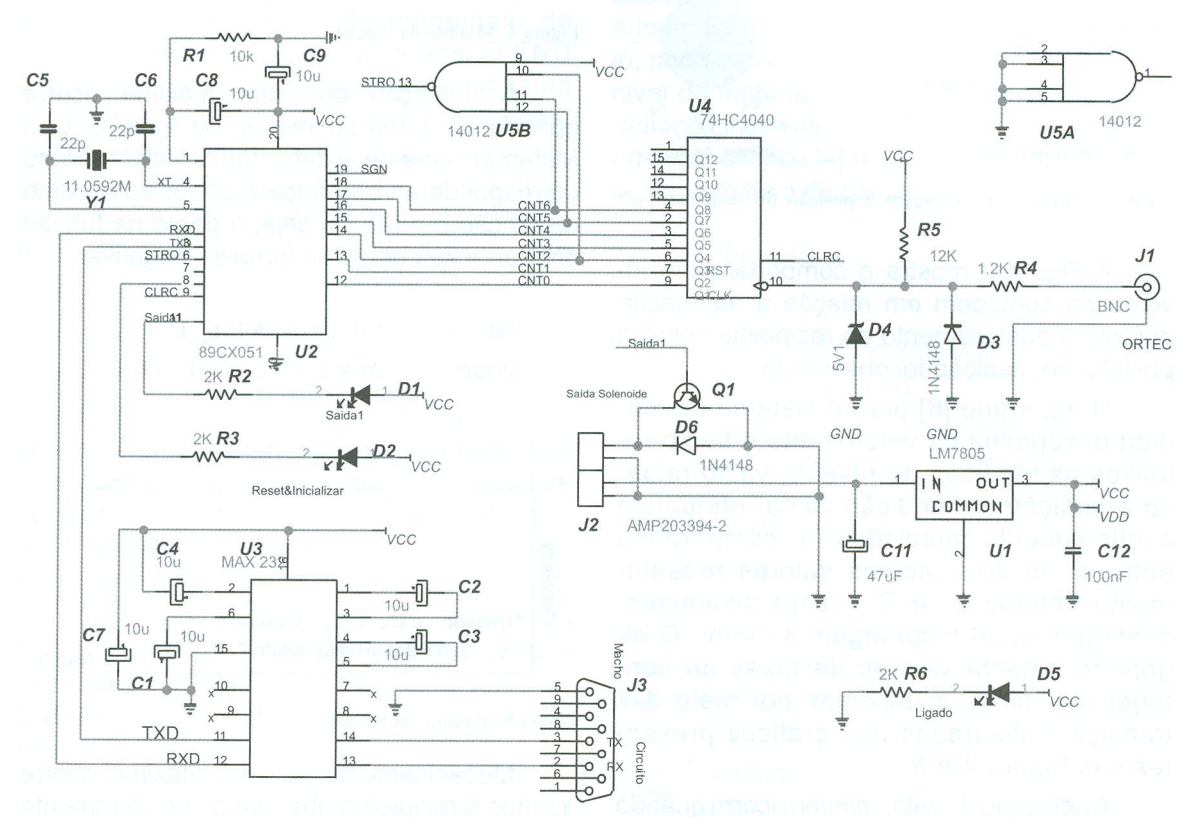


Figura 6. Diagrama esquemático do MEE

O módulo recebe uma tensão de 12V do através do conector J2 Rack-Bin. O circuito integrado U1 fornece a tensão estabilizada VCC ou VDD de valor +5V que alimenta todo o circuito do módulo.

Os pulsos vindos de um Analizador Mono Canal SCA chegam ao conector J1, passam através de um circuito limitador de tensão e chegam ao terminal de entrada Clock do contador de 7 Bits circuito integrado U4, suas saídas chegam ao microcontrolador que as recebe em forma de número binário.

Ao término de cada período da base de tempo o microcontrolador emite um sinal de

Clear ao U4, zerando-o e inicializando-o para uma nova contagem. Se no U4 ocorrer uma sobrecontagem, isto é, uma contagem superior a 99, o circuito integrado detector U5 envia o sinal STRO ao microcontrolador para que este diminua o valor da base de tempo.

O MEE calcula o valor da a taxa de contagem baseando-se no número n de pulsos contado por U4 e o no período da base de tempo. Os períodos de tempo são: 1ms, 10ms, 100ms e 1s. Esses períodos são selecionados automaticamente pelo próprio Firmware com base no sinal STRO e o valor n fornecido pelo contador U4.

A comunicação serial se realiza através de duas linhas de sinal por meio do circuito integrado U3.

O Firmaware para o MEE foi desenvolvido com base no fluxograma apresentado na Figura 7.



Figura 7. Fluxograma do Firmware

O Firmware fará com que o microcontrolador MCS51 execute e controle as seguintes funções:

Gerar uma base de tempo com seleção automática de faixa;

Calcular a taxa de contagem a partir da quantidade de pulsos contados pelo contador binário sob a base tempo;

Comunicar serialmente com o microcomputador de tal forma a transmitir os valores das taxas de contagens e receber comandos do programa ENDRAD e

Energizar a saída Válvula Solenóide do tipo ON/OFF que acionará o sistema eletromecânico e/ou eletropneumático de seleção.

O Programa ENDRAD

O PCE é executável no sistema Windows®. O mesmo foi desenvolvido especificamente para esse trabalho de tal forma a atuar como uma IHM Interface Homem Máquina, através da qual o operador interage com o sistema. O PCE tem como base um algoritmo para medição e controle, e apresenta uma janela com diversos elementos funcionais tais como: Visualizador da variável sob medida, Mostradores numéricos e Botões de funções mostrados na Figura 9.

Na sua concepção o PCE foi escrito em linguagem C++ devido sua alta eficiência ao aceder o Hardware, isto é, as funções do código fonte para interagir com Hardware são eficientes fazendo com que o código objeto seja de tamanho reduzido. Essa eficência confere ao programa executável um menor tamanho e maior velocidade de processamento.

O algoritmo geral do PCE que pode ser visto na Figura 8 foi desenvolvido para executar as seguintes tarefas:

Detectar automaticamente a porta de comunicação serial disponível, Com1 ou Com2;

Receber os valores das taxas de contagens e mostra-las .

Permitir dois modos de execução: Modo Operação e Modo Calibração selecionáveis por meio de botões na janela do programa.

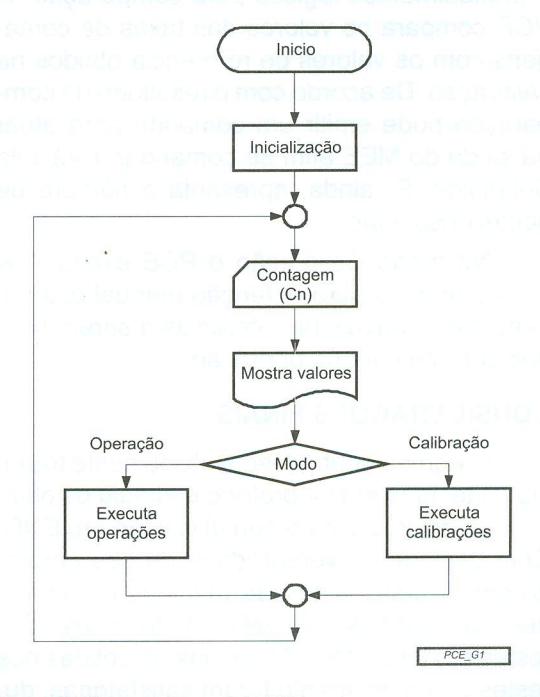


Figura 8. Fluxograma geral do PCE

Os elementos do PCE são:

FORM1, para conter as objetos do programa;

THREAD 1, para a abertura de porta de comunicação e

THREAD 2, para leitura de taxas de contagens.

O padrão de comunicação utilizado é o Serial RS 232

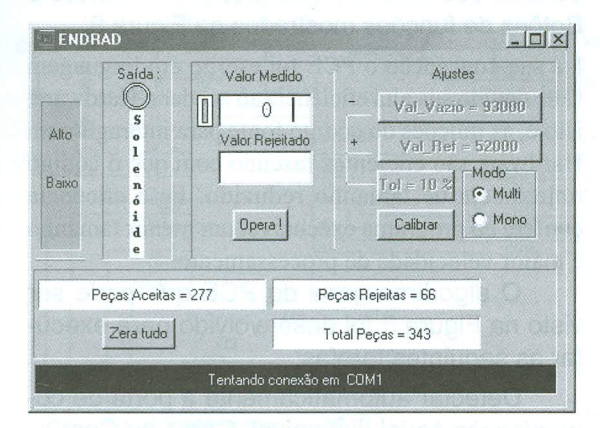


Figura 9. Janela do PCE

No modo Operação o PCE executa os procedimentos aritméticos para os cálculos relativos ao processo de identificação dos valores mínimo e máximo da taxa de contagem e procedimentos lógicos para comparação. O PCE compara os valores das taxas de contagens com os valores de referência obtidos na calibração. De acordo com o resultado da comparação pode emitir um comando para atuar na saída do MEE afim de comandar a Válvula Solenóide. E, ainda, apresenta o número de peças ensaiadas.

No modo Calibração o PCE executa os procedimentos para obtenção manual dos valores das variáveis de referência a serem usados durante o modo operação.

CONSIDERAÇÕES FINAIS

O equipamento desenvolvido neste trabalho foi testado em laboratório e atingiu os objetivos propostos para a sua utilização em END. Com destaque a versatilidade de seu emprego em diversas áreas de medidas e controle além de medidas de nível como foi o caso dos testes em laboratório As respostas obtidas nos testes do equipamento foram satisfatórias, du-

rante todas as etapas dos experimentos, com reservatórios parados e em movimento.

O equipamento pode ser muito bem adaptado às condições de ambientes industriais.

O Software e o Firmware admitem atualizações e sua manutenção não apresenta custos elevados.

Em uma análise de custo para uso industrial ele apresenta-se como um equipamento de valor acessível para sua implantação.

E, quanto à sua produção em larga escala, a pesquisa demonstrou ser um equipamento de custo não elevado.

REFERÊNCIAS BIBLIOGRÁFICAS

- [1] MAHAUT, S.; ROY, 0.; SERRE, M. An adaptive system for advanced NDT applications using phased arrays. CEA/ CEREM, SACLAY. 91191 Gifkw- Yvette. Frunce ELSEVIER Ultrasonics 36 (1998) 127-I 3 I.
- [2] MALHOTRA, V. M.; CARINO, N. J.CRC. Handbook of Nondestructive Testing of Concrete, 1999, CRC Press, EUA.

[3] HCG; Niton

http://www.hcgtecnologia.com.br/apnxrf.htm.

- http://www.niton.com/index2.asp, Última consulta em 05/09/2006.
- [4] KNOLL, G. F. Radiation Detection and Measurement, 2nd Edition, Editora J.Wie Wiley, 1998.
- [5] Kieran P. Maher ,DEXA: Radiation Safety, Dept. of Medical Radiations Science, RMIT, PO Box 71, Bundoora 3083, Australia, http://homepage.mac.com/kieranmaher/ digrad/DRPapers/DEXA_Attenuation.html# Introduction, Última consulta 10/09/2006.
- [6] PAMBOUKIAN, S. V.; ZAMBONI, L. C.; RAMOS, E. A. R., C++ Builder, Editora Páginas & Letras, 1a Edição, 2002.
- [7] QUINTELA, A.; Matemática, Companhia Editora Nacional, 19a Edição, 1970, p 116.

- [8] PISKUNOV, N. Diferential and Integral Calculos, Mir Plublisher Moscow, 1969.
- [9] KEIFFER, J. Descrição, caracteristísticas e desempenho de um protótipo contador de corpo inteiro para uso clínico. São Paulo: 1970. Tese (Doutoramento) – Faculdade de Medicina da USP.
- [10] ICRU Report 22. Measurements of Low Level Radiactivity. ICRU International Commission on Radiation Unit and Measurements, 1972.